

Что мы имеем: используя элементы $JM - J_1, \dots, J_n$

мы построили пирсовское разложение единицы в $M_n(q)$

При этом:

- примитивный идемпотент \Leftrightarrow стандартная таблица Юнга

- собственное значение J_i на идемпотенте \Leftrightarrow контент клетки \overline{i} в соответствующей таблице

Зам Фактически набор собственных значений $J_i, i=1 \dots n$ полностью задает вид стандартной таблицы.

Стандартная таблица — лишь удобная форма записи собственных значений J_i .

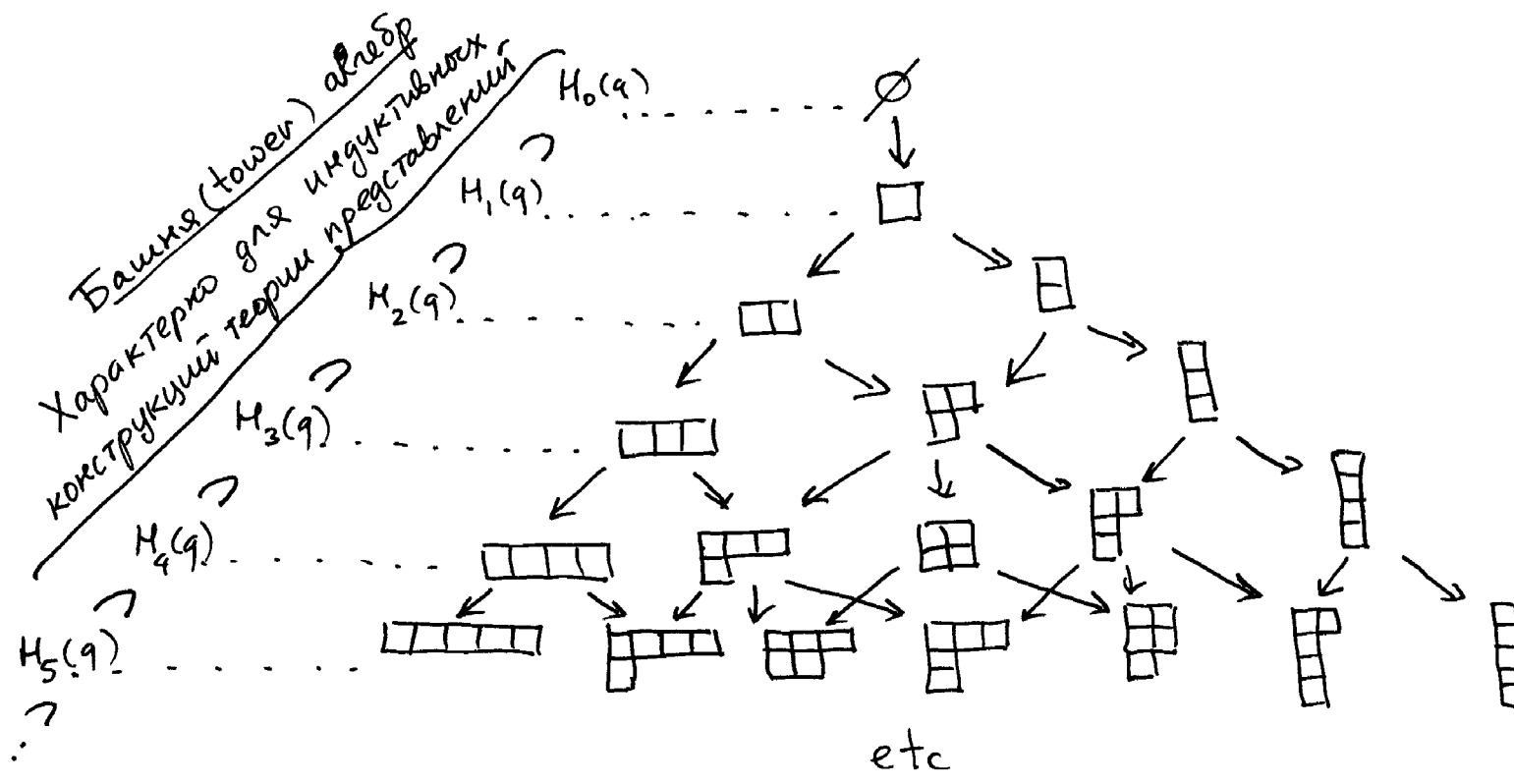
- Стандартные таблицы одной формы \Leftrightarrow идемпотенты одного матричного блока

Вывод:

Размер матричного блока λ , то есть размерность соответствующего ему неприводимого представления равен числу стандартных таблиц формы λ .

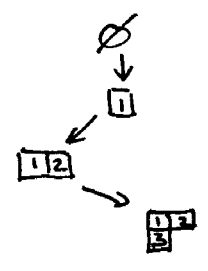
Базисные вектора неприводимого представления $M_n(q)$, отвечающего диаграмме Юнга λ можно нумеровать стандартными таблицами формы λ

Индуктивная процедура построения прим. идемпотентов отражается на диаграмме Брателли (Brattelli)

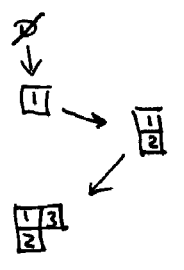


Заметим: пути на диаграмме Брателли отмечают разные способы построения стандартных таблиц.

Например:



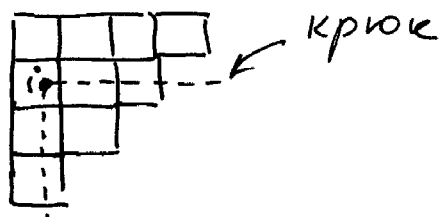
, и другой путь



Следовательно: размерность представления $\lambda =$
числу путей, приводящих к λ
на диаграмме Брателли.

Def: Длина крюка с вершиной в клетке i

3



Длина крюка h_i - это число клеток диаграммы, которые он пересекает.

В этом случае $h_i = 5$

Формула Фробениуса для определения размерности неприводимого представления λ :

$$\dim_{(\lambda+n)} \lambda = \frac{n!}{h_1! h_2! \dots h_k!} \prod_{1 \leq i < j \leq k} (h_i - h_j),$$

где h_1, h_2, \dots, h_k - длины крюков с вершинами в первом столбце.

Более удобная формула крюков:

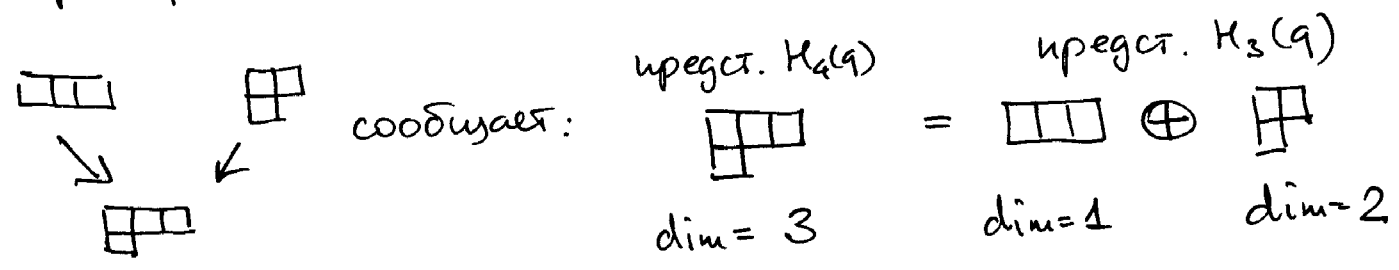
$$\dim_{(\lambda+n)} \lambda = \frac{n!}{\prod_{i=1}^n h_i}$$

произведение берётся по всем крюкам диаграммы λ .

Диаграмма Брауэри рассказывает ещё о:

- 1) Разложением неприводимого представления $H_n(q)$ в прямую сумму неприводимых представлений подалгебры $H_{n-1}(q)$

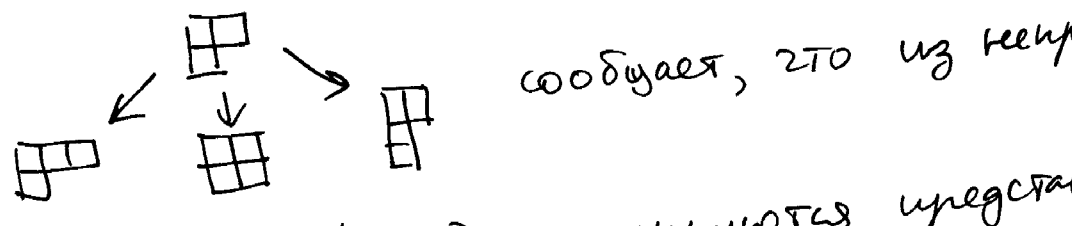
Например:



(Это можно видеть далее, при явном построении представлений)

- 2) Индукцией представлений $H_{n+1}(q)$ из неприводимых представлений подалгебры $H_n(q)$

Например:



Как это происходит: вы имеете 2-мерное представление $H_3(q)$ с базисными векторами, скажем, σ_1, σ_2 . Как на них действуют $\sigma_1, \sigma_2 \in H_3(q)$ - известно.

В алгебре $H_4(q) \supset H_3(q)$ есть еще σ_3 , действие которого на $\sigma_{1,2}$ неизвестно. Предполагаем, что это кобы вектора

$$u_{1,2} = \sigma_3 \sigma_{1,2}$$

Далее аналогично вводим кобы вектора.

$$\omega_{1,2} = \sigma_2 \sigma_3 \sigma_{1,2} \quad t_{1,2} = \sigma_1 \sigma_2 \sigma_3 \sigma_{1,2}$$

Все, индукция кончилась, кобы ~~вектора~~ неизвестных векторов не будет, Действие $\sigma_1, \sigma_2, \sigma_3$ на векторах

$u_{1,2}, \sigma_{1,2}, \omega_{1,2}, t_{1,2}$ выражается через них же.

Получили индуцированное 8-мерное представление $H_4(q)$

Оно разлагается на 3 неприводимых

$$\begin{array}{l} \boxplus - \dim 2 \\ \boxplus \boxplus - \dim 3 \\ \boxplus \boxplus - \dim 3 \end{array} \left. \vphantom{\begin{array}{l} \boxplus \\ \boxplus \boxplus \\ \boxplus \boxplus \end{array}} \right\} \text{все } \dim$$

Комментарий: индуцирование — это следующий шаг в серии

- 1) множества $A, B \rightarrow A \times B$ — прямое произведение
- 2) линейные пространства $A, B \rightarrow A \otimes B$ — тензорное произведение
- 3) $X \subset A$
 X -подалгебра A $\rightarrow A \otimes_X B$ — тензорное произведение A на B над X
 B — левый A -модуль (представление A)

Тут A рассматривается как свой собственный левый и правый (регулярный) A -модуль

В нашем примере:

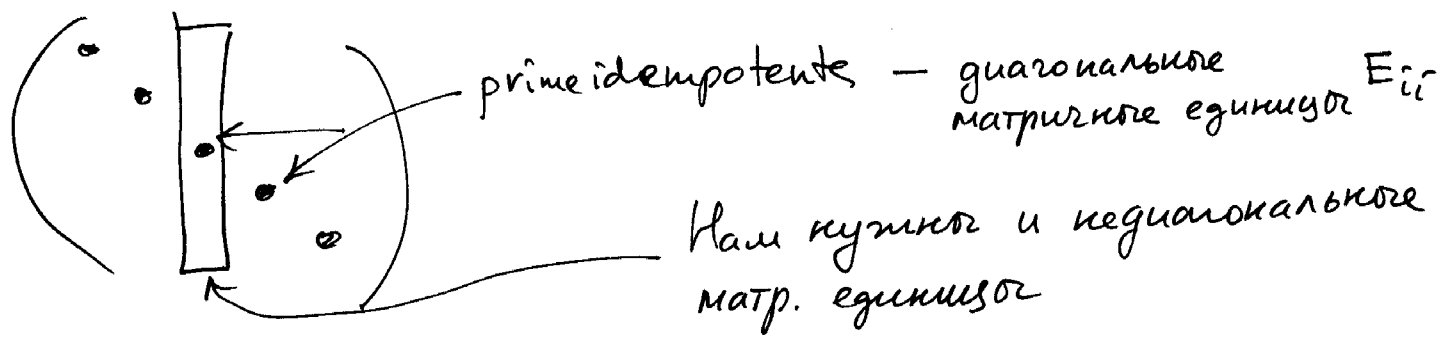
$A = H_4(q), X = H_3(q), B = \mathbb{F}$ — ~~модуль~~

И тогда $A \otimes_X B$ — левый A -модуль

Начнём строить представление.

Для начала построим базисные вектора в пространстве представления.

Это — ~~вектор~~ элемент одного столбца в матричном блоке



Базисные вектора представления $v_i = E_{ij} \leftarrow \forall \text{ фиксир. индекс } j$

$V = \text{Span} \{ v_i \}$ $i = 1, \dots, \dim V$

E_{ii} в нашем случае — собственные вектора элементов JM.

~~Матрицы~~ | Неважно, действуют элементы JM слева или справа, т.к. E_{ii} из элементов JM и построены, а те образуют коммут. подалгебру.

E_{ij} будем искать как собственные вектора элементов JM, но с разными наборами собственных значений, относительно левого или правого действия элементов JM

(Так и ведут себя недиагональные матричные единицы)

E_{ij} относительно действия диагональных матриц

\Updownarrow

мах. коммут. подалгебра в матричном блоке

Рассмотрим как действуют генераторы $H_n(q) - \sigma_{j_k}, k=1, \dots, n-1$ на собственные вектора элементов JM J_1, \dots, J_n .

- $\sigma_k J_\ell = J_\ell \sigma_k$, если $\ell \neq k, k+1$

- σ_k, J_k, J_{k+1} образуют аффинную алгебру Гекке $\tilde{H}_2(q)$ (диаграмма $\begin{matrix} J_k & \sigma_k \\ \text{---} & \text{---} \\ 0 & \text{---} & 0 \end{matrix}$).

Впуская несущественный индекс: $\sigma_k \rightarrow \sigma, J_k \rightarrow J, J_{k+1} \rightarrow J'$

имеем:
$$\begin{cases} \sigma^2 = 1 + \lambda \sigma & (\lambda := q - q^{-1}) \\ J' = \sigma J \sigma \\ J J' = J' J \end{cases} \Leftrightarrow \boxed{\sigma J \sigma J = J \sigma J \sigma}$$

↑
так называемое,
уравнение отражения
(Reflection equation)

Алгебра $\tilde{H}_2(q)$ бесконечномерна,
(если не накладывать условий на J)

Её неприводимые конечномерные представления имеют размерность 1 или 2.

Процедура построения:

а) Базис в представлении - собственные вектора J и J'

Пусть ψ - такой вектор:

$$\begin{cases} J\psi = a\psi \\ J'\psi = b\psi \end{cases}$$

8) Если $\sigma\psi \sim \psi$, то представление 1-мерно. (8)

При этом в силу условия Теке для σ

$$\sigma\psi = \pm q^{\pm 1}\psi, \text{ откуда}$$

$$\boxed{b = q^{\pm 2}a} \quad (J' = \sigma J \sigma)$$

1-мерное представление возможно только в этом случае

б) Если $\sigma\psi \not\sim \psi$, то считаем

$\psi' = \sigma\psi$ вторым базисным вектором представления

Больше независимых векторов не построить,
(проверьте действие J, J', σ на ψ и ψ')

поэтому представление 2-мерно. В базисе ψ, ψ' имеет

$$\sigma = \begin{pmatrix} 0 & 1 \\ 1 & \lambda \end{pmatrix}, \quad J = \begin{pmatrix} a & 0 \\ -\lambda b & b \end{pmatrix}, \quad J' = \begin{pmatrix} b & 0 \\ \lambda b & a \end{pmatrix}$$

Матрицы J и J' являются жордановыми клетками, т.е. диагонализуются, если $a = b$. Такое 2-мерное представление не вполне приводимо, что противоречит нашим предположениям. Вынуждены считать $\boxed{a \neq b}$

Тогда J и J' диагонализуются действием

$$X = X^{-1} = \begin{pmatrix} -1 & 0 \\ \frac{\lambda b}{a-b} & 1 \end{pmatrix}$$

$$X J X^{-1} = \begin{pmatrix} a & 0 \\ 0 & b \end{pmatrix}, \quad X J' X^{-1} = \begin{pmatrix} b & 0 \\ 0 & a \end{pmatrix}$$

Мы видим, что действием σ мы можем переставить собств. значения J и J' .

Это не все:

$$X \sigma X^{-1} = \begin{pmatrix} -\frac{\lambda b}{a-b} & -1 \\ \frac{(a-q^2b)(a-q^{-2}b)}{(a-b)^2} & \frac{\lambda a}{a-b} \end{pmatrix}$$

Эта матрица треугольна если $b = q^{\pm 2} a$

Тогда представление ~~не~~ перестаёт быть неприводимым
вектор ψ' станет инвариантным 1-мерным подпространством

Итак: 2-мерное ~~неприводимое~~ ^{неприводимое} представление ~~реализуется~~ реализуется если $b \neq \{a, q^{\pm 2} a\}$

Диагональной J, J' - базис в 2-мерном представлении

$$\psi : J\psi = a\psi, \quad J'\psi = b\psi$$

$$\tilde{\psi} = \left(\sigma + \frac{\lambda b}{a-b} \right) \psi : J\tilde{\psi} = b\tilde{\psi}, \quad J'\tilde{\psi} = a\tilde{\psi}$$

Зам. J_k и J_{k+1} могут обменяться собств. значениями если $b \neq \{a, q^{\pm 2} a\}$. Эти исключенные точки:

$\begin{matrix} \boxed{k} \\ \boxed{k+1} \end{matrix} \leftarrow b = a$
такое водилое невозможно

$\begin{matrix} \boxed{k} & \boxed{k+1} \\ \boxed{k} & \boxed{k+1} \end{matrix} \leftarrow$ в этом случае обмен $k \leftrightarrow k+1$ даёт нестандартную таблицу Юнга

Обратим внимание на элемент

$$\sigma_k(a, b) := \sigma_k + \frac{\lambda b}{a-b} 1$$

который делает ~~map~~ $\psi \rightarrow \tilde{\psi}$.

Это т.н. бaxterизованные генераторы (Baxterized)

Они, как мы показали, переставляют собственные значения J_k и J_{k+1} и не трогают собств. значения остальных J_i $i \neq k, k+1$.

Их свойства:

1) $\sigma_k(a, b)$ обратим если $b \neq q^{\pm 2} a$

$$\begin{aligned} \sigma_k(a, q^2 a) &\sim A = \frac{q - \sigma_k}{q + q^{-1}} \leftarrow \text{проектор} \\ \sigma_k(a, q^{-2} a) &\sim S = \frac{q^{-1} + \sigma_k}{q + q^{-1}} \end{aligned}$$

$$2) \sigma_k(a, b) \sigma_k(b, a) = \frac{qa - q^{-1}b}{a-b} \cdot \frac{qb - q^{-1}a}{b-a} \cdot 1$$

↑ т.н. "унитарность"

$$3) \sigma_k(a, b) \sigma_{k+1}(a, c) \sigma_k(b, c) = \sigma_{k+1}(b, c) \sigma_k(a, c) \sigma_{k+1}(a, b)$$

↑ т.н. уравнение Янга-Бакстера со спектральными параметрами a, b, c . (Yang-Baxter eq.)

Эти свойства требуются для непротиворечивости действия $\sigma_k(a, b), \sigma_{k+1}(a, c)$. ~~мы~~ перестановками собств. значений операторов JM: J_k, J_{k+1}, J_{k+2} (проверьте!)

Очевидно, $\sigma_k(a, b)$ зависят лишь от отношения a/b . Переопределим:

$$\sigma_k(l) := \sigma_k + \frac{q^{-l}}{[l]_q}$$

$$[l]_q := \frac{q^l - q^{-l}}{q - q^{-1}}$$

q-числа Эйлера

$$[l]_q \xrightarrow{q \rightarrow 1} l$$

$$\sigma_k(l) = \sigma_k(a, b) \text{ при } \frac{a}{b} = q^{2l}$$

Рассмотрим пример: прим. идемпотента $\begin{bmatrix} 1 & 2 \\ & 3 \end{bmatrix}$ и $\begin{bmatrix} 1 & 3 \\ & 2 \end{bmatrix}$

в $K_3(q)$ принадлежат одному матричному блоку размера 2×2 . $\sigma_2(l)$ - может иметь местами собственные значения J_2 и J_3 (каждо только l поодиночке)

В частности:

$$\begin{bmatrix} \sigma_2(l=2) & \begin{bmatrix} 1 & 2 \\ & 3 \end{bmatrix} \end{bmatrix} \quad \left(\frac{\text{с.з. } J_2}{\text{с.з. } J_3} = \frac{a}{b} = q^4 \right)$$

ведет себя как $\begin{bmatrix} 1 & 3 \\ & 2 \end{bmatrix}$ слева (т.е. $J_2 = q^{-2}$, а $J_3 =$ на нём) и как $\begin{bmatrix} 1 & 2 \\ & 3 \end{bmatrix}$ справа.

$$\begin{bmatrix} \begin{bmatrix} 1 & 3 \\ & 2 \end{bmatrix} & \sigma_2(l=-2) \end{bmatrix} \quad \left(\frac{a}{b} = q^{-4} \right)$$

ведет себя так же как $\begin{bmatrix} 1 & 3 \\ & 2 \end{bmatrix}$ слева и как $\begin{bmatrix} 1 & 2 \\ & 3 \end{bmatrix}$ справа

У нас 2 кандидата на одну и ту же неоднокальную матричную единицу, но она одна.

Выход единственен

$$\begin{bmatrix} \sigma_2(2) & \begin{bmatrix} 1 & 2 \\ & 3 \end{bmatrix} \end{bmatrix} = \text{const} \begin{bmatrix} 1 & 3 \\ & 2 \end{bmatrix} \sigma_2(-2)$$

Нетрудно убедиться, что $\text{const} = 0$ или 1 .

Упр Проверьте это, умножив соотношение (*)

справа на идемпотент $\begin{bmatrix} 1 & 2 \\ 3 & 3 \end{bmatrix}$, и получите формулу

$$\begin{bmatrix} 1 & 3 \\ 2 & 3 \end{bmatrix} \cdot \begin{bmatrix} 1 & 2 \\ 3 & 3 \end{bmatrix} = 0 \quad \text{и ^{евное} выражение для } \sigma_2(-2)$$

$\text{const} = 1$, если $\sigma(l)$, участвующее в соотношении обратимо ($l \neq \pm 1$). В нашем примере это

так:

$$\sigma_2(2) \begin{bmatrix} 1 & 2 \\ 3 & 3 \end{bmatrix} = \begin{bmatrix} 1 & 3 \\ 2 & 2 \end{bmatrix} \sigma_2(-2) =: \begin{bmatrix} 1 & 2 \\ 3 & 3 \end{bmatrix} \begin{bmatrix} 1 & 3 \\ 2 & 2 \end{bmatrix}$$

Аналогично строится другая недиагональная матричная единица:

$$\begin{bmatrix} 1 & 2 \\ 3 & 3 \end{bmatrix} \sigma_2(2) = \sigma_2(-2) \begin{bmatrix} 1 & 3 \\ 2 & 2 \end{bmatrix} =: \begin{bmatrix} 1 & 2 \\ 3 & 3 \end{bmatrix} \begin{bmatrix} 1 & 3 \\ 2 & 2 \end{bmatrix}$$

Итак, мы построили весь 2×2 матричный блок: на диагоналях $\begin{bmatrix} 1 & 2 \\ 3 & 3 \end{bmatrix}$ и $\begin{bmatrix} 1 & 3 \\ 2 & 2 \end{bmatrix}$, вне диагоналей $\begin{bmatrix} 1 & 2 \\ 3 & 3 \end{bmatrix} \begin{bmatrix} 1 & 3 \\ 2 & 2 \end{bmatrix}$ и $\begin{bmatrix} 1 & 3 \\ 2 & 2 \end{bmatrix} \begin{bmatrix} 1 & 2 \\ 3 & 3 \end{bmatrix}$.

Недиагональные единицы, правда, нечкор-
мированы:

так обозначим построенную нами недиагональную матричную единицу. Левая и правая таблицы Юнга. Это фактически индексы матриц единиц E_{ij} ($i \neq j$)

$$\begin{bmatrix} 1 & 2 \\ 3 & 3 \end{bmatrix} \begin{bmatrix} 1 & 3 \\ 2 & 2 \end{bmatrix} \cdot \begin{bmatrix} 1 & 3 \\ 2 & 2 \end{bmatrix} \begin{bmatrix} 1 & 2 \\ 3 & 3 \end{bmatrix} = (\sigma_2(2) \begin{bmatrix} 1 & 3 \\ 2 & 2 \end{bmatrix}) (\begin{bmatrix} 1 & 3 \\ 2 & 2 \end{bmatrix} \sigma_2(2)) = \sigma_2(2) \begin{bmatrix} 1 & 3 \\ 2 & 2 \end{bmatrix} \sigma_2(2) =$$

$$= \begin{bmatrix} 1 & 2 \\ 3 & 2 \end{bmatrix} \sigma_2(-2) \sigma_2(2) = \begin{bmatrix} 1 & 2 \\ 3 & 2 \end{bmatrix} \left(1 - \frac{1}{[2]_q^2}\right) = \frac{[1]_q \cdot [3]_q}{[2]_q^2} \begin{bmatrix} 1 & 2 \\ 3 & 3 \end{bmatrix}$$

нетривиальная нормировка

[3] Откорректировать матричные единицы можно было перейдя от

$$\sigma_k(\ell) \xrightarrow{\kappa} \frac{[\ell]_q}{[\ell+1]_q} \sigma_k(\ell) = \overset{\text{новое}}{\sigma_k(\ell)}$$

Но это уже несущественные детали.

не работает лишь в точке вырождения $\ell = -1$

Более существенная деталь: бывает ли случай, когда $\text{const } \psi(\ast) (\text{стр II}) = 0$?

Да, когда $\ell = \pm 1$, то есть когда клетки \boxed{k} и $\boxed{k+1}$ — соседи в одном столбце или в одной строке стандартной таблицы. Их тогда нельзя менять местами. В нашем примере (и всегда) это случается с клетками $\boxed{1}$ и $\boxed{2}$:

$$\begin{cases} \sigma_1(-1) \overline{\boxed{1}_3^2} = \overline{\boxed{1}_3^2} \sigma_1(-1) = 0 & \text{это } \sim A = \frac{q - \sigma_1}{q + q^{-1}} \\ \sigma_1(1) \overline{\boxed{1}_2^3} = \overline{\boxed{1}_2^3} \sigma_1(1) = 0 & \text{это } \sim S = \frac{q^{-1} + \sigma_1}{q + q^{-1}} \end{cases}$$

Все эти формулы "перестановки" и "защелкивания" бaxterизованных генераторов на стандартных таблицах (они же — прим. матр. идемпотенты)

однозначно определяет представление все матрицы для ^{всех} генераторов σ_k .

Сейчас это увидим, но прежде запишем общее правило

Правила действия $\sigma_k(l)$ на таблицах:

$$\left. \begin{aligned} \sigma_k(-1) \left[\begin{array}{|c|c|} \hline k & k+1 \\ \hline \end{array} \right] &= \left[\begin{array}{|c|c|} \hline k & k+1 \\ \hline \end{array} \right] \sigma_k(-1) = \emptyset \\ \sigma_k(1) \left[\begin{array}{|c|} \hline k \\ \hline k+1 \\ \hline \end{array} \right] &= \left[\begin{array}{|c|} \hline k \\ \hline k+1 \\ \hline \end{array} \right] \sigma_k(1) = \emptyset \end{aligned} \right\} \text{"Закупки"}$$

"Перестановка"

$$\begin{aligned} \sigma_k(l) \cdot \left[\begin{array}{|c|c|} \hline l & k \\ \hline \downarrow & \\ \hline & k+1 \\ \hline \end{array} \right] &= \left[\begin{array}{|c|c|} \hline -l & k+1 \\ \hline \downarrow & \\ \hline & k \\ \hline \end{array} \right] \cdot \sigma_k(-l) = \left[\begin{array}{|c|c|} \hline -l & k+1 \\ \hline \downarrow & \\ \hline & k \\ \hline \end{array} \right] \left[\begin{array}{|c|} \hline +l \\ \hline k \\ \hline \end{array} \right] \\ \left[\begin{array}{|c|c|} \hline l & k \\ \hline \downarrow & \\ \hline & k+1 \\ \hline \end{array} \right] \cdot \sigma_k(l) &= \sigma_k(-l) \cdot \left[\begin{array}{|c|c|} \hline -l & k+1 \\ \hline \downarrow & \\ \hline & k \\ \hline \end{array} \right] = \left[\begin{array}{|c|c|} \hline l & k \\ \hline \downarrow & \\ \hline & k+1 \\ \hline \end{array} \right] \left[\begin{array}{|c|c|} \hline -l & k+1 \\ \hline \downarrow & \\ \hline & k \\ \hline \end{array} \right] \end{aligned}$$

Здесь l - длина крюка соединяющего центры клеток k и $k+1$ в таблице. Она ориентирована: $l > 0$, если крюк направлен влево-вниз; $l < 0$, если крюк направлен вверх-направо. Длина измеряется в единицах размера клетки.

Например:

$$\left[\begin{array}{|c|c|c|} \hline 1 & 2 & 3 \\ \hline 4 & 6 & \\ \hline 5 & & \\ \hline \end{array} \right] \leftarrow \begin{cases} l_{1 \rightarrow 2} = -1 \\ l_{2 \rightarrow 3} = -1, \quad l_{3 \rightarrow 4} = 3, \\ l_{4 \rightarrow 5} = 1, \quad l_{5 \rightarrow 6} = -2 \end{cases}$$

Теперь построим матрицы операторов σ_k в представлениях. Наш пример: \boxplus_2 - двумерное представление $H_3(q)$. Построим 2×2 матрицы для σ_1 и σ_2 .

Берём столбцы $\begin{matrix} \overline{12} \\ \overline{3} \end{matrix}$ и $\begin{matrix} \overline{13} \\ \overline{2} \end{matrix} \mid \begin{matrix} \overline{12} \\ \overline{3} \end{matrix}$ у матричного блока. ~~Р~~ X и Y

На X и Y действуют операторами σ_1 и σ_2 :

$$\sigma_1(-1) \begin{matrix} \overline{12} \\ \overline{3} \end{matrix} = 0 \Rightarrow \sigma_1 X = q X$$

$(\sigma_1 - q)$

$$\sigma_1(1) \begin{matrix} \overline{13} \\ \overline{2} \end{matrix} \mid \begin{matrix} \overline{12} \\ \overline{3} \end{matrix} = 0 \Rightarrow \sigma_1 Y = -q^{-1} Y.$$

Значит матрица σ_1 : $\begin{pmatrix} q & 0 \\ 0 & -q^{-1} \end{pmatrix}$ при действии на базисе $\begin{pmatrix} X \\ Y \end{pmatrix}$

Зам. В нашей реализации σ_1 всегда будет представлен диагональной матрицей. $\sigma_1 = \sqrt{J_2} = \frac{J_2 - 1}{\lambda}$

$$\sigma_2(2) \begin{matrix} \overline{12} \\ \overline{3} \end{matrix} = \begin{matrix} \overline{13} \\ \overline{2} \end{matrix} \mid \begin{matrix} \overline{12} \\ \overline{3} \end{matrix} \Rightarrow \sigma_2 X = -\frac{q^{-2}}{[2]_q} X + Y$$

$(\sigma_2 + \frac{q^{-2}}{[2]_q})$

$$\sigma_2(-2) \begin{vmatrix} 13 \\ 2 \end{vmatrix} \begin{vmatrix} 12 \\ 3 \end{vmatrix} = \underbrace{\sigma_2(-2) \sigma_2(2)}_{\frac{[3]_q}{[2]_q^2}} \begin{vmatrix} 12 \\ 3 \end{vmatrix}$$

" $(\sigma_2 - \frac{q^2}{[2]_q})$

$\sigma_2 Y = \frac{q^2}{[2]_q} Y + \frac{[3]_q}{[2]_q^2} X$

Значит матрица σ_2 :

$$\begin{pmatrix} -\frac{q^{-2}}{[2]_q} & 1 \\ \frac{[3]_q}{[2]_q^2} & \frac{q^2}{[2]_q} \end{pmatrix} \leftarrow \text{при действии на базисе } \begin{pmatrix} X \\ Y \end{pmatrix}$$

Замечание: Обычно определяют действие операторов не на базисных векторах пространства $\{X, Y\}$, а на коэффициентах разложения $\{\alpha_x, \alpha_y\}$ произвольного вектора этого пространства по базису

$$\psi = \alpha_x X + \alpha_y Y$$

Операторы σ_1, σ_2 действуют на $\begin{pmatrix} \alpha_x \\ \alpha_y \end{pmatrix}$ транспонированными матрицами

Более удобное правило волыслелел

матриц $\sigma_1, \sigma_2, \dots$ в представлении: \mathbb{C}

представьте, что вы протаскиваете оператор $\sigma_k(l)$ слева - направо сквозь станд. таблицу и волыслелел его справа на "вакуумном" векторе

$$\begin{aligned} \sigma_k(l) |0\rangle &= \left(\sigma_k + \frac{q^{-e}}{[e]_q} \right) |0\rangle = \\ &= \left(q + \frac{q^{-e}}{[e]_q} \right) |0\rangle = \frac{[l+1]_q}{[e]_q} |0\rangle \end{aligned}$$

(можно было заметить σ_k не на q , а на другое его собственное значение $-q^{-1}$).

Действуем в нашем примере. База: $\begin{pmatrix} \tilde{X} = \sqrt{\frac{12}{3}} |0\rangle \\ \tilde{Y} = \sqrt{\frac{13}{2}} |0\rangle \end{pmatrix}$

$$\sigma_2(2) \sqrt{\frac{12}{3}} |0\rangle = \sqrt{\frac{13}{2}} \sigma_2(-2) |0\rangle = \sqrt{\frac{13}{2}} \frac{[4]_q}{[2]_q} |0\rangle$$

$$\left(\sigma_2 + \frac{q^{-2}}{[2]_q} \right)$$

$$\Rightarrow \sigma_2 \tilde{X} = -\frac{q^{-2}}{[2]_q} \tilde{X} + \frac{1}{[2]_q} \tilde{Y}$$

$$\sigma_2(-2) \sqrt{\frac{13}{2}} |0\rangle = \sqrt{\frac{12}{3}} \sigma_2(2) |0\rangle = \sqrt{\frac{12}{3}} \frac{[3]_q}{[2]_q} |0\rangle$$

$$\left(\sigma_2 - \frac{q^2}{[2]_q} \right)$$

$$\Rightarrow \sigma_2 \tilde{Y} = \frac{q^2}{[2]_q} \tilde{Y} + \frac{[3]_q}{[2]_q} \tilde{X}$$

Итак:

$$\sigma_2 = \begin{pmatrix} -\frac{q^{-2}}{[2]_q} & \frac{1}{[2]_q} \\ \frac{[3]_q}{[2]_q} & \frac{q^2}{[2]_q} \end{pmatrix} \text{ в базисе } \begin{pmatrix} \tilde{X} \\ \tilde{Y} \end{pmatrix}$$

Нетрудно убедиться, что $\sigma_1 = \begin{pmatrix} q & 0 \\ 0 & -q^{-1} \end{pmatrix}$ в этом базисе.

Очевидно, базисы $\begin{pmatrix} X \\ Y \end{pmatrix}$ и $\begin{pmatrix} \tilde{X} \\ \tilde{Y} \end{pmatrix}$ связаны диагональным преобразованием $\begin{pmatrix} \tilde{X} \\ \tilde{Y} \end{pmatrix} = \begin{pmatrix} \frac{1}{[2]_q} X \\ Y \end{pmatrix}$ — смена масштаба базисных векторов

Еще один пример

Представление $H_4(q)$ отвечающее диаграмме Юнга

$$\lambda = \{2, 1, 1\} \quad \begin{array}{|c|} \hline \square \\ \hline \square \\ \hline \square \\ \hline \end{array}$$

$$X = \begin{array}{|c|} \hline 12 \\ \hline 3 \\ \hline 4 \\ \hline \end{array} 10 \rangle, \quad Y = \begin{array}{|c|} \hline 13 \\ \hline 2 \\ \hline 4 \\ \hline \end{array} 10 \rangle, \quad Z = \begin{array}{|c|} \hline 14 \\ \hline 2 \\ \hline 3 \\ \hline \end{array} 10 \rangle$$

$$\sigma_1(-1) \begin{array}{|c|} \hline 12 \\ \hline 3 \\ \hline 4 \\ \hline \end{array} = 0$$

$$\sigma_1(1) \begin{array}{|c|} \hline 13 \\ \hline 2 \\ \hline 4 \\ \hline \end{array} = \sigma_1(1) \begin{array}{|c|} \hline 14 \\ \hline 2 \\ \hline 3 \\ \hline \end{array} = 0$$

$$\Rightarrow \begin{cases} \sigma_1 X = q X \\ \sigma_1 Y = -q^{-1} Y \\ \sigma_1 Z = -q^{-1} Z \end{cases}$$

$$\sigma_2(2) \begin{vmatrix} 12 \\ 3 \\ 4 \end{vmatrix} = \begin{vmatrix} 13 \\ 2 \\ 4 \end{vmatrix} \sigma_2(-2)$$

$$\sigma_2(-2) \begin{vmatrix} 13 \\ 2 \\ 4 \end{vmatrix} = \begin{vmatrix} 12 \\ 3 \\ 4 \end{vmatrix} \sigma_2(2)$$

$$\sigma_2(1) \begin{vmatrix} 14 \\ 2 \\ 3 \end{vmatrix} = 0$$

$$\Rightarrow \begin{cases} \sigma_2 X = -\frac{q^{-2}}{[2]_q} X + \frac{1}{[2]_q} Y \\ \sigma_2 Y = \frac{q^2}{[2]_q} Y + \frac{[3]_q}{[2]_q} X \\ \sigma_2 Z = -q^{-1} Z \end{cases}$$

$$\sigma_3(1) \begin{vmatrix} 12 \\ 3 \\ 4 \end{vmatrix} = 0$$

$$\sigma_3(3) \begin{vmatrix} 13 \\ 2 \\ 4 \end{vmatrix} = \begin{vmatrix} 14 \\ 2 \\ 3 \end{vmatrix} \sigma_3(-3)$$

$$\sigma_3(-3) \begin{vmatrix} 14 \\ 2 \\ 3 \end{vmatrix} = \begin{vmatrix} 13 \\ 2 \\ 4 \end{vmatrix} \sigma_3(3)$$

$$\Rightarrow \begin{cases} \sigma_3 X = -q^{-1} X \\ \sigma_3 Y = -\frac{q^{-3}}{[3]_q} Y + \frac{[2]_q}{[3]_q} Z \\ \sigma_3 Z = \frac{q^3}{[3]_q} Z + \frac{[4]_q}{[3]_q} Y \end{cases}$$

Итак, в базисе $\begin{pmatrix} X \\ Y \\ Z \end{pmatrix}$ операторы σ_k $k=1,2,3$ действуют матрицами

$$\sigma_1 = \begin{pmatrix} q & 0 & 0 \\ 0 & -q^{-1} & 0 \\ 0 & 0 & -q^{-1} \end{pmatrix}$$

$$\sigma_2 = \begin{pmatrix} -\frac{q^{-2}}{[2]_q} & \frac{1}{[2]_q} & 0 \\ \frac{[3]_q}{[2]_q} & \frac{q^2}{[2]_q} & 0 \\ 0 & 0 & -q^{-1} \end{pmatrix}$$

$$\sigma_3 = \begin{pmatrix} -q^{-1} & 0 & 0 \\ 0 & -\frac{q^{-3}}{[3]_q} & \frac{[2]_q}{[3]_q} \\ 0 & \frac{[4]_q}{[3]_q} & \frac{q^3}{[3]_q} \end{pmatrix}$$

Заключительные замечания:

1) В пределе $q \rightarrow 1$ компоненты матриц σ_i в построенных нами представлениях являются рациональными числами. Это значит, что представления симметрической группы S_n можно определять над полем вещественных и рациональных чисел. Теория представлений не меняется.

2) Для более сложных диаграмм недиагональные матричные единицы строятся с привлечением большего (чем 1) числа базисированных элементов

Например:

$$\begin{array}{c|c} \hline 1 & 2 & 3 \\ \hline 4 & & \\ \hline 5 & & \\ \hline \end{array} \left| \begin{array}{c|c} \hline 1 & 2 & 5 \\ \hline 3 & & \\ \hline 4 & & \\ \hline \end{array} \right. = \begin{array}{c|c} \hline 1 & 2 & 3 \\ \hline 4 & & \\ \hline 5 & & \\ \hline \end{array} \sigma_3(3) \sigma_4(4) =$$

$$= \sigma_3(-3) \begin{array}{c|c} \hline 1 & 2 & 4 \\ \hline 3 & & \\ \hline 5 & & \\ \hline \end{array} \sigma_4(4) = \sigma_3(-3) \sigma_4(-4) \begin{array}{c|c} \hline 1 & 2 & 5 \\ \hline 3 & & \\ \hline 4 & & \\ \hline \end{array}$$

Напомним:

$$\begin{array}{c|c} \hline 1 & 2 & 3 \\ \hline 4 & & \\ \hline 5 & & \\ \hline \end{array} = \frac{J_2 - q^{-2}}{q^2 - q^{-2}} \cdot \frac{J_3 - q^{-2}}{q^4 - q^{-2}} \cdot \frac{J_4 - q^6}{q^{-2} - q^6} \cdot \frac{J_5 - q^6}{q^{-4} - q^6} \cdot \frac{J_5 - 1}{q^{-4} - 1}$$